

# 两核子吸收机制与飞行 $\pi$ 介子

姜焕清 李扬国

(中国科学院高能物理研究所)

## 摘 要

本文推广静止  $\pi$  吸收的两核子模型用于讨论几百 MeV 飞行  $\pi$  介子被原子核吸收后发射核子能谱的现象。计算了 220 MeV  $\pi$  介子被  $^{12}\text{C}$ ,  $^{58}\text{Ni}$  和  $^{181}\text{Ta}$  核吸收后的发射核子能谱以及吸收截面  $\sigma_{abs}$ 、平均发射核子数  $\bar{N}$  和  $\pi^+/\pi^-$  吸收后发射质子的产额比值  $\bar{R}$  与  $A$  的依赖关系。这些实验都能成功地用两核子吸收机制给与描述。

## 一、前 言

$\alpha$ -核相互作用是六十年代末期以来人们极感兴趣的课题<sup>[1]</sup>。迄今为止在此领域进行广泛的研究,但还有相当多的问题等待人们去回答。对这些问题的回答又都直接与对  $\alpha$ -核吸收过程的理解相联系。

$\pi$  吸收是一个真实的多核子现象。它至少把大于 140 MeV 的能量交给原子核,这相当于 5—10 个核子的结合能。这么多能量是如何在核内分配的?多少核子直接参与了吸收过程?定量的说都还有很大的分歧<sup>[2]</sup>。作者之一曾就静止  $\pi$  介子被原子核吸收后的核子单举反应能谱、两核子关联等实验数据的分析,提出两核子吸收机制加末态相互作用的模型理论<sup>[3]</sup>。即认为静止的  $\pi$  是直接被核中一对核子吸收,这对原始核子获得能、动量之后,或者直接飞离原子核,或者在核中与其它核子再次进行弹性或非弹性碰撞。由于每次非弹性碰撞,核子的能、动量丢失很大,很快形成复合核而以蒸发的方式发射核子。这个模型理论成功地定量地解释了发射核子的能谱和关联谱。同时也给出了发射 d 核的能谱形状及绝对值<sup>[3,4]</sup>。

近年, $\alpha$ -核吸收的实验,在入射  $\pi$  介子能量在 100—200 MeV 能区内进行了较系统的研究<sup>[2,5]</sup>。测量了  $\pi^+$  和  $\pi^-$  介子对不同原子核的总吸收截面  $\sigma_{abs}$ ,  $\pi$  被核吸收以后发射核子的平均数  $\bar{N}$ , 质子的多重数,  $\pi^+$  和  $\pi^-$  被吸收后发射质子产额的比  $\bar{R}$ , 以及出射核子的单举反应能谱<sup>[2]</sup>。 $\sigma_{abs}$  与核子数  $A$  的依赖关系约为  $A^{0.72}$ ,  $\bar{N}$  当  $A$  从 12 增大到 181 时, 约从 3 增大到 5.5。 $\bar{R}$  随  $A$  的增大略微下降,单举反应能谱也有一些显著的特征。对这些实验的分析现在有明显的分歧。例如柯<sup>[6]</sup>等人提出在  $\pi$  飞行的方向上所有核子参与  $\pi$  吸收

的多核子吸收理论。他们认为 $\pi$ 被吸收后核子能、动量分布纯粹是统计上的结果。他们的计算能解释飞行 $\pi$ 吸收的实验。而 Doss<sup>[7]</sup>等人却从几何图象上去考虑,认为飞行 $\pi$ 是两核子吸收机制。讨论了 $\sigma_{abs}$ ,  $\bar{N}$ 和 $\bar{R}$ 与 $A$ 的依赖关系,得到与实验符合的结果。

我们认为尽管柯<sup>[6]</sup>等人的多核子吸收模型与实验的结果符合得不错,但并不意味着有许多核子直接吸收 $\pi$ 。静止 $\pi$ 吸收机制与飞行 $\pi$ 吸收机制看不出该有本质上的区别。因此,我们推广文献[3]中处理静止 $\pi$ 吸收后发射核子的模型理论用于飞行 $\pi$ 介子的吸收。我们把 $\pi$ 吸收过程分成如下几步过程:

1.  $\pi$ 介子进入原子核与核内核子发生弹性和非弹性碰撞。这一过程用 $\alpha$ -核光学位中扭曲了的 $\pi$ 介子波函数来描述。

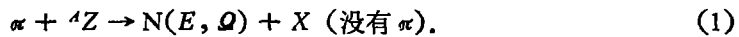
2. 我们暂略去多核子吸收的影响,而假定 $\pi$ 分子在一对核子上被吸收。即核内的一对核子分配了 $\pi$ 介子的能量与动量。

3. 吸收了 $\pi$ 的两核子,离开原子核以前,可能与核内的其它核子发生N-N碰撞。从而损失能量与动量。

4. 剩余原子核系统可能处于激发态,它可以以发射核子的方式退激发。在下面将看到这样的推广能够解释目前所得到的实验结果。在第二节中,我们将给出在飞行 $\pi$ 吸收情况下这一模型理论的公式。第三节将给出计算结果和与实验比较。第四节进行分析与讨论。最后作些小结。

## 二、模型公式

我们讨论一个具有入射动能 $E_\pi$ (动量 $p_0$ )的 $\pi$ 介子与原子核 ${}^AZ$ 相碰后被吸收。在末态只观察一个核子(或仅仅是质子)的反应:



单举微分截面 $\frac{d^2\sigma}{dEdQ}$ 可以对末态的多次碰撞作展开

$$\frac{d^2\sigma}{dEdQ} = \sum_n \frac{d^2\sigma_n}{dEdQ}. \quad (2)$$

其中 $n$ 表示吸收了 $\pi$ 的核子在离开原子核之前与核内其他核子发生 $n$ 次非弹性碰撞。

$\frac{d^2\sigma_n}{dEdQ}$ 表示吸收了 $\pi$ 的核子,经过 $n$ 次N-N末态相互作用后的双重微分截面。按照文献

[3],我们近似地把它因子化

$$\frac{d\sigma_n}{dEdQ} = \sigma_n C_n(\nu) \frac{dW_n}{dEdQ}. \quad (3)$$

其中 $\sigma_n$ 是一个几何因子,它给出 $\pi$ 吸收后,核子经过 $n$ 次末态N-N碰撞的那一部分吸收截面。 $C_n$ 是计数因子,它表示经过 $n$ 次N-N碰撞后所观察的核子的数目。 $\frac{dW_n}{dEdQ}$ 是动量分布函数,它给出经过 $n$ 次末态作用后,出射核子的动量分布形状。它是规一化的:

$$\int \frac{dW_n}{dEdQ}(E, Q) dEdQ = 1. \quad (4)$$

上述因子化, 是一个近似, 在这个近似中, 我们假定了吸收  $\pi$  后的核子在核内发生  $n$  次非弹性碰撞的部分吸收截面与核子的动量无关。而动量分布函数又与核子所在位置无关。这就大大简化了核内级联过程的计算。然而这个简化与真正的 Monte Carlo 计算并未显示出很大的差别<sup>[8]</sup>。

下面再进一步阐述 (3) 式各量的计算:

几何因子  $\sigma_n$  决定于  $\pi$  吸收的位置及吸收  $\pi$  后的核子在原子核中所经过的路径。按照我们的假定, 它与核子的实际路径无关, 我们仅取它的平均路径。即  $\pi$  吸收后一个核子的平均发射方向  $\mathbf{e}$  为平均路径。

$$\sigma_n = c \int S(\mathbf{r}) t_n(\mathbf{r}, \mathbf{e}) d^3r. \quad (5)$$

其中  $S(\mathbf{r})$  描述在  $\mathbf{r}$  处发生  $\pi$  吸收的几率, 它依赖  $\alpha$ -核光学位及在  $\mathbf{r}$  处发现  $\pi$  介子的几率<sup>[9]</sup>

$$S(\mathbf{r}) = \frac{4\pi}{2\omega} (2I_m B_0 \rho^2(\mathbf{r}) |\phi_\pi(\mathbf{r})|^2 + 2I_m C_0 \rho^2(\mathbf{r}) |\nabla \phi_\pi(\mathbf{r})|^2). \quad (6)$$

其中  $B_0, C_0$  是  $\alpha$ -核光学位中的常数,  $\rho(\mathbf{r})$  是原子核密度,  $\phi_\pi(\mathbf{r})$  是  $\pi$  的波函数, 若取程函扭曲型波函数:

$$\phi_\pi(\mathbf{r}) = e^{i\mathbf{p}_0 \cdot \mathbf{r}} \cdot e^{-\frac{1}{2} \int_{-\infty}^{\mathbf{r}} \frac{d\mathbf{r}'}{\lambda_\pi} \frac{\rho(\mathbf{r}')}{\rho(0)}}. \quad (7)$$

则不难计算  $S(\mathbf{r})$ .  $t_n(\mathbf{r}, \mathbf{e})$  表示从  $\mathbf{r}$  处沿  $\mathbf{e}$  方向飞行的核子在核内发生  $n$  次碰撞的几率, 假定它满足泊松分布:

$$t_n(\mathbf{r}, \mathbf{e}) = \frac{T^n(\mathbf{r}, \mathbf{e})}{n!} e^{-T(\mathbf{r}, \mathbf{e})}. \quad (8)$$

其中

$$T(\mathbf{r}, \mathbf{e}) = \int_0^\infty \frac{dS}{\lambda_N} \frac{\rho(\mathbf{r} + \mathbf{e}S)}{\rho(0)}. \quad (9)$$

它是从  $\mathbf{r}$  处沿  $\mathbf{e}$  方向看以核子的平均自由程  $\lambda_N$  为单位的厚度函数。

在飞行  $\pi$  的情况下, 在我们的模型中, 计数因子的计算完全与静止  $\pi$  吸收相同。它决定于所观察的核子是质子还是中子; 以及  $\pi$  是在什么样的核子上被吸收。假定  $\alpha^+$  是被  $np$  对吸收,  $C_0(p)=0, C_0(n)=0, C_n(v)$  的其他数值计算见文献 [3]。  $\frac{dW_n(E, \mathbf{Q})}{dE d\mathbf{Q}}$  是经过  $n$  次 N-N 碰撞后出射核子的动量分布函数

$$\frac{dW_n(E, \mathbf{Q})}{dE d\mathbf{Q}} = \int dE' d\mathbf{Q}' F_1(\mathbf{Q} - \mathbf{Q}', E, E') \frac{dW_{n-1}(\mathbf{Q}', E')}{dE' d\mathbf{Q}'}. \quad (10)$$

$F_1(\mathbf{Q}, E; E')$  是能量为  $E'$  的核子与费米海中一核子相碰之后, 在费米能上测到其中一个能量为  $E$  (动量为  $\mathbf{p}$ ) 方向为  $\mathbf{Q}$  的核子的分布函数, 它的结果是<sup>[8]</sup>

$$F_1(\mathbf{Q}, E; E') = c(E') \frac{3}{8\alpha E_F} \left( \frac{E}{E_F} \right)^{\frac{1}{2}} (QE')^{-\frac{1}{2}} \cdot \begin{cases} (E' - E) & P_F^2 > (q + z_0)^2 \\ \frac{1}{Q} [E' E \sin^2 \theta - Q(E - E_F)] & P_F^2 \leq (q + z_0)^2 \end{cases} \quad (11)$$

其中

$$\begin{aligned} Q &= E' + E - 2\sqrt{EE'}\cos\theta, \quad \bar{q} = \mathbf{p} - \mathbf{p}_0, \\ Z_0 &= (p_0^2 - p^2 - q^2)/2q, \quad E = p^2/2M, \\ C(E') &= \left(1 - \frac{7}{5}\frac{E_F}{E'}\right) + \frac{2}{5}\frac{E_F}{E'}\left(2 - \frac{E'}{E_F}\right)^{\frac{3}{2}}\theta(2E_F - E') \end{aligned} \quad (12)$$

$E_F$  是费米表面能,  $P_F$  为费米动量. 上面  $\frac{dW_n(E, Q)}{dEdQ}$ ,  $F_1(Q, E; E')$  都归一, 即:

$$\int \frac{dW_n(E, Q)}{dEdQ} dEdQ = 1. \quad (13)$$

$$\int F_1(Q, E; E') dEdQ = 1. \quad (14)$$

$\frac{dW_0(E, Q)}{dEdQ}$  是飞行  $\pi$  介子被两个核子吸收后, 观察到其中一个能量为  $E$  (其动量为  $\mathbf{p}$ ), 在  $Q$  方向上的核子的分布函数. 它可用如下的跃迁矩阵元来计算

$$\frac{dW_0(E, Q)}{\sqrt{E}dEdQ} = F_0 \int_{k_1, k_2 < P_F} |\langle \mathbf{p}\mathbf{p}_2 | H_I | \mathbf{k}_1 \mathbf{k}_2 \mathbf{p}_0 \rangle|^2 \cdot \delta(E_i - E_f) d\mathbf{k}_1 d\mathbf{k}_2 d\mathbf{p}_2 \quad (15)$$

其中矩阵元中包含了动量守恒和顶角  $V_{\pi NN}$ . 如果采用光滑的费米气体; 即(15)式中积分作如下代替

$$\int_0^{P_F} d^3k \rightarrow \int_0^\infty d^3k e^{-5k^2/2P_F^2}. \quad (16)$$

这时

$$\begin{aligned} \frac{dW_0(E, Q)}{\sqrt{E}dEdQ} &\propto \int_0^\infty d^3k_1 \int_0^\infty d^3k_2 \int d\mathbf{p}_2 e^{-5k_1^2/2P_F^2} e^{-5k_2^2/2P_F^2} \cdot \delta(\mathbf{p} + \mathbf{p}_2 - \mathbf{k}_1 - \mathbf{k}_2 - \mathbf{p}_0) \\ &\cdot \delta\left(\frac{k_1^2 + k_2^2}{2M} + \frac{p_0^2}{2\mu} + \mu - \frac{p_2^2 + p^2}{2M} - \frac{(\mathbf{p}_2 + \mathbf{p})^2}{2M(A-2)}\right). \end{aligned} \quad (17)$$

其中  $\mu$  为  $\pi$  的静止质量. 如果引入平均能量  $E_0$

$$E_0 = \left\langle \frac{k_1^2 + k_2^2}{2M} + \frac{p_0^2}{2\mu} + \mu - E_{R\pi} \right\rangle. \quad (18)$$

则(17)式不难解析地积分, 最后得:

$$\frac{dW_0(E, Q)}{dEdQ} \propto e^{\frac{5}{2}p_0 p \cos\theta} \frac{p}{|\mathbf{p} - \mathbf{p}_0|} \sinh \left[ \frac{|\mathbf{p} - \mathbf{p}_0|}{\sqrt{2M}} \sqrt{E_0 - E} / \frac{2}{5} E_F \right]. \quad (19)$$

这样, 我们用(19)和(10)式逐次计算  $\frac{dW_1(E, Q)}{dEdQ}$ ,  $\frac{dW_2(E, Q)}{dEdQ}$ , ...

$\alpha$ -核吸收总截面  $\sigma_{abs}$  为:

$$\sigma_{abs} = \sum_n \sigma_n \quad (20)$$

把(5)式代入(20)式得:

$$\sigma_{abs} = c \int d^3r S(\mathbf{r}). \quad (21)$$

$c$  是一个常数, 它由任一个原子核的总吸收截面的实验值来确定.

平均发射核子数为:

$$\bar{N} = \frac{\int d\Omega dE \frac{d\sigma}{dE d\Omega} \theta\left(\frac{p^2}{2M} - E_B - V_c\right)}{\sigma_{abs}} \quad (22)$$

$\alpha^+$ ,  $\alpha^-$  介子入射的质子产额比  $R$  为:

$$\bar{R} = \frac{\sum_n \sigma_n C_n^+(p) \int d\Omega dE \frac{d\sigma_n(E, \Omega)}{dE d\Omega} \theta\left(\frac{p^2}{2M} - E_B - V_c\right)}{\sum_n \sigma_n C_n^-(p) \int d\Omega dE \frac{d\sigma_n(E, \Omega)}{dE d\Omega} \theta\left(\frac{p^2}{2M} - E_B - V_c\right)} \quad (23)$$

其中  $V_c$  是质子的库仑位垒,  $E_B$  是最后一个质子的分离能,  $\theta(x)$  是阶梯函数,  $C_n^{(\pm)}(p)$  的上足号 (+, -) 标示是  $\alpha^+$  或  $\alpha^-$  入射的计算因子.

直接从 (6) 式代入 (21) 式计算积分求  $\sigma_{abs}$  并不太繁杂. 但为了得到明显地  $\sigma_{abs}$  与  $A$  的依赖关系, 作如下二点简化: (1) 只取  $S$  波吸收. (2) 用  $\rho(r)$  代替  $\rho^2(r)$ . 这样得到

$$\sigma_{abs} = c \int d^2b \left( 1 - e^{-\int_{-\infty}^{\infty} \frac{dx \rho(r)}{\lambda_\pi \rho(0)}} \right) \quad (24)$$

若进一步假设核的密度分布是在核半径  $R_0 = r_0 A^{\frac{1}{3}}$  内的均匀分布函数, 则上式的积分可以解析求得:

$$\sigma_{abs} = c \left[ \pi R^2 - \frac{\pi \lambda_\pi^2}{2} + \left( \pi \lambda_\pi R_0 + \frac{1}{2} \pi \lambda_\pi^2 \right) e^{-2 \frac{R_0}{\lambda_\pi}} \right] \quad (25)$$

如果我们忽略去库仑位垒  $V_c$  及束缚能  $E_B$  的影响, 则 (22), (23) 式的积分是归一, 这时:

$$\bar{N} = \sum_n \sigma_n C_n / \sigma_{abs}. \quad (26)$$

$$C_n = C_n(p) + C_n(n). \quad (27)$$

$$\bar{R} = \sum_n \sigma_n C_n^+(p) / \sum_n \sigma_n C_n^-(p). \quad (28)$$

$\sigma_n$  可从 (5), (6) 和 (9) 式直接计算, 自然这个积分是较复杂了. 但在上面二点简化下, 并假定核子平均发射角为  $0^\circ$ .  $\sigma_n$  可化为

$$\sigma_n = \frac{3A\sigma_{abs}}{2R_0^3 n!} \int_0^{R_0} dy y e^{-2y/\bar{\lambda}} \int_{-y}^y dz \left[ \frac{y-z}{\lambda_N} \right]^n e^{az} \quad (29)$$

其中

$$\bar{\lambda} = \frac{1}{2} (\lambda_\pi + \lambda_N) \quad (30)$$

$$a = \frac{1}{\lambda_N} - \frac{1}{\lambda_\pi}$$

(29) 式还可以解析的积分而得到清晰的  $A$  依赖关系, 如

$$\sigma_0 = \frac{3A\sigma_{abs}}{2R_0^3} \int_0^{R_0} dy y e^{-2y/\bar{\lambda}} \frac{1}{a} (e^{ay} - e^{-ay}) \quad (31)$$

$$\sigma_1 = \frac{3A\sigma_{abs}}{2R_0^3} \int_0^{R_0} dy y e^{-2y/\bar{\lambda}} \left[ \frac{e^{ay}}{\lambda_N a^2} - \left( \frac{1}{\lambda_N a^2} + \frac{2y}{\lambda_N a} \right) e^{-ay} \right] \quad (32)$$

$$\sigma_2 = \frac{3A\sigma_{abs}}{4R_0^3} \int_0^{R_0} dy y e^{-2y/\bar{\lambda}} \left[ \frac{2e^{2ay}}{\lambda_N^2 a^3} - \frac{1}{\lambda_N^2} \left( \frac{4y^2}{a} + \frac{4y}{a^2} - \frac{2}{a^3} \right) e^{-ay} \right] \quad (33)$$

不难对(31)–(33)式作进一步积分。

这样,在两核子 $\pi$ 吸收机制下,出射核子的能谱,吸收截面,平均核子数,以及 $\pi^+$ 和 $\pi^-$ 质子产额比等物理量都可以通过上面的式子计算。

### 三、计算和与实验比较

先用上节所得到的理论公式计算出射核子的能谱。计算时,原子核密度函数 $\rho(\mathbf{r})$ 取符合电子弹性散射的结果<sup>[9]</sup>。费米动量 $P_F$ 是来自 $(e, e'p)$ 实验的分析<sup>[10]</sup>。 $\pi$ 吸收的平均自由程 $\lambda_\pi$ 取自文献[11]。核子在核物质中的平均自由程 $\lambda_N$ 在100–200MeV能区约在2–3fm<sup>[9]</sup>。在我们的计算中,认为 $\pi$ 吸收发生在np核子上;对于nn(或pp)对 $\pi$ 吸收的影响将于下一节讨论。这样,除了常数 $c$ 从吸收总截面决定之外,没有其他自由参数。在计算(5)、(8)、(9)式时,们们取 $\mathbf{e}$ 方向为平均发射角方向,即

$$\langle \cos \theta_e \rangle = \int dE dQ \cos \theta \frac{dW_0(E, Q)}{dE dQ} \quad (34)$$

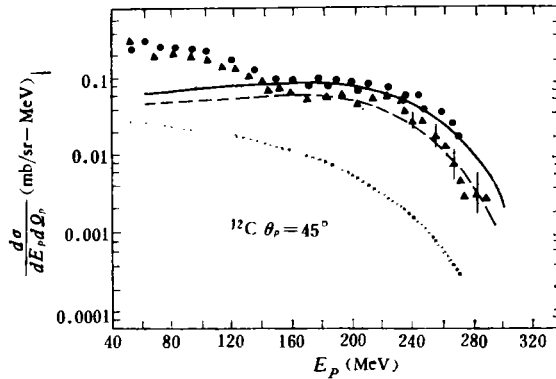


图1 220MeV $\pi$ 介子被 $^{12}\text{C}$ 吸收后发射的质子谱,曲线为理论计算,点为实验值。

●, — 为 $\pi^+$ 吸收; ..... 为 $\pi^-$ 吸收的理论值; ▲, ——— 为 $\pi^+$ 、 $\pi^-$ 吸收的平均结果

图1是 $E_\pi = 220\text{MeV}$ 时,对 $^{12}\text{C}$ 核在 $45^\circ$ 处发射质子的 $\frac{d^2\sigma(E, Q)}{dE dQ}$ 的三条曲线,分别属于 $\pi^+$ 吸收, $\pi^+$ 与 $\pi^-$ 平均吸收,和 $\pi^-$ 吸收的情况。 $\pi^-$ 吸收情况也相等于 $\pi^+$ 吸收后发射中子的结果。计算时取 $\lambda_\pi = 2\text{fm}$ ,  $\lambda_N = 2\text{fm}$ ,  $\langle \cos \theta_e \rangle = 0.78$ 即 $\theta_e = 38.7^\circ$ 。计算时,只取(2)式中 $n = 0, 1$ 项。 $n > 1$ 的项没有计算,它对于低能端的能谱是重要的。我们初步的计算看到能量在140MeV以上的能谱是能够与实验符合。 $\pi^-$ 的情况,由于吸收在np对发生。 $n = 0$ 项没有贡献,因此几率小得多。能谱的形状也有显著的区别。它随能量增大而下降的速度比 $\pi^+$ 的快得很多。图2是作为一个例子对 $^{12}\text{C}$  $\pi^+$ 吸收情况分别给出 $n = 0$ 和 $n = 1$ 项的贡献。从这个例子可以看出 $\frac{d\sigma_0(E, Q)}{dE dQ}$ 的贡献主要在高能端。而 $\frac{d\sigma_1(E, Q)}{dE dQ}$ 主要在能谱的中间区域处。如果我们再计及 $n = 2, n = 3$ 的贡献,对低能端一定会有更好的结果。在文献[12]的图1中,还给出了 $\theta_p = 45^\circ, 60^\circ, 120^\circ$ 时的 $\pi^+$

与  $\pi^-$  平均吸收的质子谱。这些结果与实验比较在 140MeV 以上能区处都能符合实验。

图 3 是对  $^{58}\text{Ni}$  和  $^{181}\text{Ta}$  在  $E_\pi = 220\text{MeV}$ ,  $\theta_p = 45^\circ$  处发射质子谱的计算结果。计算时仍只计算  $n = 0$  和  $n = 1$  项； $n > 1$  的项没有计算。图中也分别给出了  $n = 0$  和  $n = 1$  的贡献。这些结果与  $^{12}\text{C}$  的情况相似，能够符合实验的高能端，而在低能部分有偏离。比较图 2、3 的三个例子，原子核越重，在低能端目前的计算偏离便稍大，这是由于核越大，高次的末态 N-N 碰撞越重要，而这一部分的贡献我们未计算。

上面对能谱的计算，看到这一理论在讨论飞行  $\pi$  吸收是成功。我们再用它来讨论吸收截面  $\sigma_{abs}$ ，平均发射核子数  $\bar{N}$  和  $\pi^+$  与  $\pi^-$  吸收后发射质子的产额比值  $\bar{R}$ 。计算的结果见图 4。结果与实验符合都很好。在这些计算中，直接的计算  $\sigma_{abs}$ ， $\sigma_n (n = 0, 1, 2, \dots)$  与

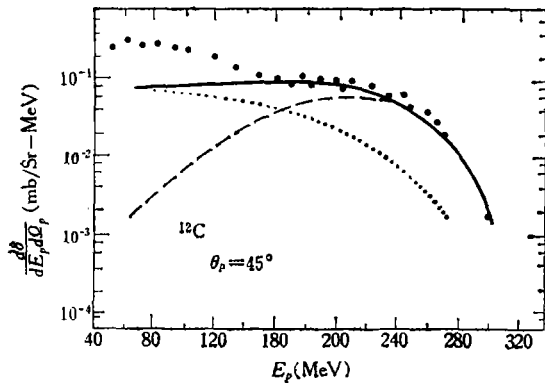


图 2  $^{12}\text{C}$  吸收  $\pi^+$  后的质子谱，——为吸收  $\pi$  的原始核子的贡献，..... 为经过一次末态 N-N 作用的核子的贡献。

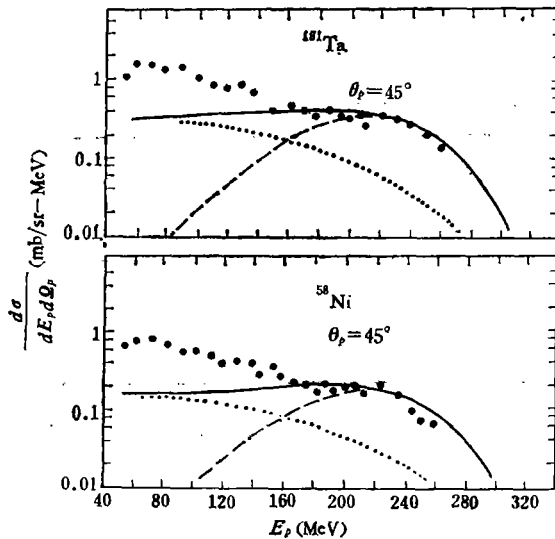


图 3  $^{181}\text{Ta}$  和  $^{58}\text{Ni}$  吸收 220MeV  $\pi^+$  后发射质子谱，其它说明同图 2

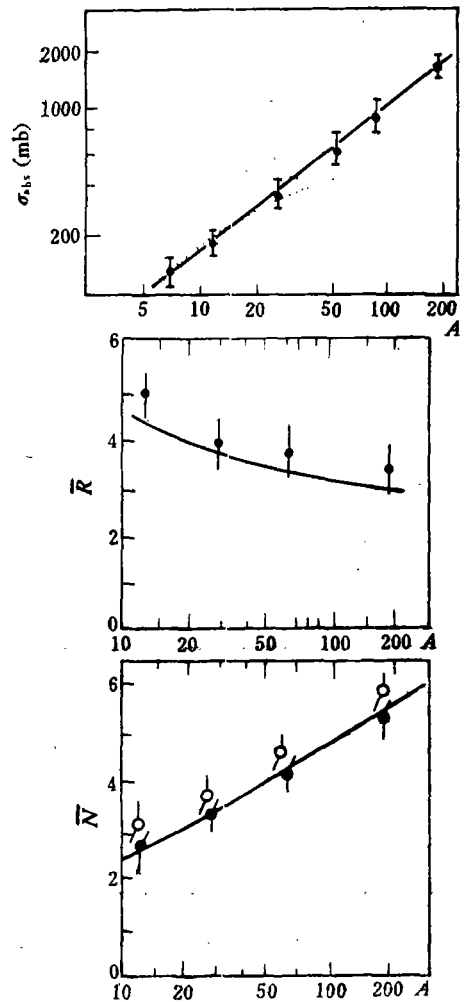


图 4 吸收总截面  $\sigma_{abs}$ ，平均发射核子数  $\bar{N}$  及  $\pi^+/\pi^-$  吸收发射质子产额比的  $A$  依赖关系

用简化的结果几乎看不出区别。在计算  $\bar{N}$  和  $\bar{R}$  时,由于实验测量的是  $> 40\text{MeV}$  粒子,故  $n$  取到 2, 高于 2 的值忽略。

#### 四、分析与讨论

在上节中对出射核子能谱的计算中看到在高端主要是两核子吸收  $\pi$  后直接飞离原子的核子。220MeV 的动能及  $\pi$  的静止质量转化为核子对的动能,这时核子的能量是很高的。但是这样高能量的核子在穿越原子核时,若它与束缚的核子再次碰撞,平均而言,

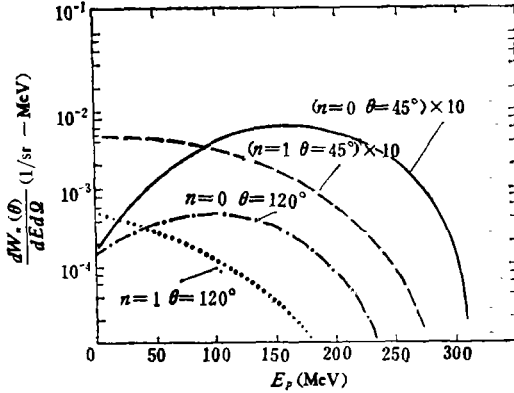


图5 发射核子动量分布函数  $\frac{dW_n(\theta)}{dEd\Omega}$   
 $E_x = 220\text{MeV}$   $E_f = 26\text{MeV}$

能量要转移一半给另一个核子。这样在中间能区出射的质子应主要来自  $\pi$  吸收后的核子经过一次 N-N 相互作用的贡献。图 5 给出了  $\frac{dW_0}{dEd\Omega}$  和  $\frac{dW_1}{dEd\Omega}$  的形

状。我们看见,从  $45^\circ$  到  $120^\circ$   $\frac{dW_0}{dEd\Omega}$  形状的变化,角度增大,低能粒子增多,而高能量处分布函数下降。在同一角度下,  $n=0$  主要贡献高端。  $n=1$  的贡献主要在中间能区。自然,能量更低部分来自二次 N-N 相互作用的贡献。由于原子核越重,末态相互作用越重要,仅考虑  $n=0$  和 1 对越重的核,会在低

能端与实验偏离越大。由于数值计算上暂时的困难,我们未进行更高次项的计算。在表 1 中,我们给出各个核在不同  $\lambda_N$  下  $\sigma_n/\sigma_{abs}$  的值。这些结果也表明对越重的核高次项越显得重要。

表1  $\sigma_n/\sigma_{abs}$  的计算值,  $E_x = 220\text{MeV}$

核	$\lambda_N(\text{fm})$	$\sigma_0/\sigma_{abs}$	$\sigma_1/\sigma_{abs}$	$\sigma_2/\sigma_{abs}$
$^{12}\text{C}$	2	0.25	0.30	0.23
	3	0.34	0.31	0.17
$^{58}\text{Ni}$	2	0.10	0.17	0.24
	3	0.19	0.27	0.25
$^{181}\text{Ta}$	3	0.06	0.14	0.17

通过初步的计算,我们清楚地看到能谱的各区域可以用 0 次、1 次、2 次的末态相互作用的贡献来区分。  $\sigma^+$  吸收和  $\sigma^+$  与  $\sigma^-$  的平均吸收发射质子谱都能很好地符合实验事实,使我们相信这个模型理论是合理的。物理图象清晰。

在上面的计算中,只计及 np 对吸收。对  $\sigma^+$  介子入射, nn 对也可以吸收  $\sigma^+$  介子。 nn 对贡献的大小决定于比率  $R_{np} = R(\sigma^+np \rightarrow pp)/R(\sigma^+nn \rightarrow np)$ 。从分析静止  $\pi$  介子吸收实验,  $R_{np} = 9^{+7}_{-3}$ 。因此 nn 对的贡献是很小。在讨论吸收  $\sigma^+$  与  $\sigma^-$  平均发射质子谱



时,不会有影响. 对  $\pi^+$  吸收后的质子谱影响也不大. 但对于出射中子谱; 或  $\pi^-$  吸收的质子谱, 在高端端会有所贡献. 因为这时  $\frac{dW_0(E, Q)}{dEdQ}$  有一部分贡献. nn 对的贡献, 我们都可以通过修正计数因子  $C_n^\pm(\nu)$  来实现<sup>[3]</sup>. 我们将在与实验比较中子出射能谱时进一步考虑它.

飞行  $\pi$  吸收与静止  $\pi$  吸收在出射核子能谱上主要不同点是角度的依赖. 一般地说, 一个核子的平均发射角是入射  $\pi$  介子的能量和原子核的费米动量的函数. 图 6 给出不同能量的  $\pi$  被  $^{12}\text{C}$  吸收后的一个核子的平均发射角. 它是朝前的. 从实验上观察到的质子能谱的角度依赖也看出这一点.

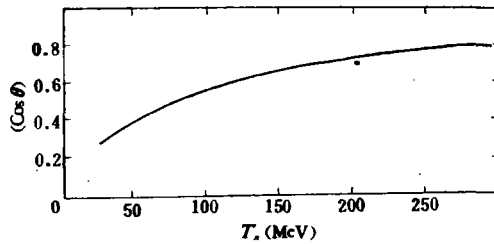


图 6  $\pi$  吸收后, 一个核子的平均发射角

为了探讨飞行  $\pi$  主要被原子核那一部分吸收. 我们把 (21) 式改写为:

$$\sigma_{abs} = c \int db 2\pi b \int dz S(\mathbf{b}, z) = \int db W(b). \quad (35)$$

$$W(b) = 2\alpha c b \int dz S(b, z). \quad (36)$$

$W(b)$  是碰撞参数  $b$  时, 飞行  $\pi$  吸收几率. 在图 7 中我们画出  $^{12}\text{C}$  核的  $W(b)$  与  $b$  的函数关系. 我们看到  $\pi$  吸收几率最大的地方是在以  $\pi$  入射方向把原子核压为扁碟的圆环处 ( $b \sim 2\text{fm}$ ) 图中的虚线是把核压为扁碟时的密度分布.

我们看到  $\sigma_{abs}$  与  $A$  的依赖关系很好. 用近似式 (25) 当  $2R_0 < \lambda_\pi$  (轻核) 时.

$$\sigma_{abs} \approx c\alpha r_0^2 A^{2/3} \left[ \frac{3}{2} - \frac{r_0}{\lambda_\pi} A^{1/3} \right],$$

即  $\sigma_{abs} \propto A^{2/3}. \quad (37)$

当  $2R_0 > \lambda_\pi$  时, (重核区)

$$\sigma_{abs} \approx c\alpha r_0^2 A^{2/3} \left[ \frac{4r_0 A^{1/3}}{\lambda} - \frac{r_0^2 A^{3/2}}{\lambda^2} \right],$$

即  $\sigma_{abs} \propto A. \quad (38)$

而实验与  $A$  的关系近似地是  $A^{0.72}$ . 实验上, 总吸收截面是由原子核的几何大小决定.

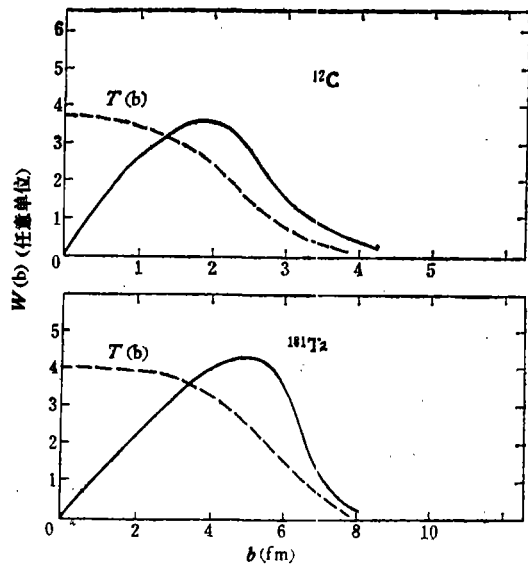


图 7  $\pi$  吸收几率函数  $W(b)$ , 说明见正文

## 五、小 结

我们用两核子 $\pi$ 吸收机制加上末态相互作用的模型计算了在 $E_x = 100 - 220\text{MeV}$ 能区的单举反应能谱,总吸收截面,平均核子数 $\bar{N}$ , $\pi^+$ 与 $\pi^-$ 吸收后发射质子的产额比值 $\bar{R}$ 等量与 $A$ 的关系.与实验的比较是满意的.我们可以得到如下结论:

1. 对于飞行 $\pi$ 介子吸收,仍然可以认为两核子 $\pi$ 吸收机制加上末态相互作用.目前的实验,不能肯定是多核子吸收的结果.

2. 出射核子能谱的高能部分是 $\pi$ 吸收后直接发射核子所贡献.大部分较低或低能核子来自级联的 $N-N$ 碰撞后出射的核子.原子核越重,它的体积越大,可能发生级联碰撞的几率越多,能谱这一特点越明显.

3. 总吸收截面 $\sigma_{abs}$ 与 $A$ 的依赖关系,仅仅决定于原子核的几何大小.从 $\sigma_{abs}$ 我们无法了解吸收机制的细节.

我们希望能有更详细的实验,例如复粒子的能谱,核子关联的能谱.它将更灵敏地检验飞行 $\pi$ 吸收机制.

我们感谢朋友们很多有益的讨论.特别是海德堡的 J. Hüfner 教授, S. Bohrmann 和 F. Hachenberg 博士.得克萨斯州的柯洽明教授.

## 参 考 文 献

- [1] D. S. Koltun, *Adv. Nucl. Phys.*, **3**(1969), 71.  
J. Hüfner, *Phys. Reports*, **21C**(1975), 1.  
T. I. Kopaleishvili, *Particles and Nuclei, Vol. 2, Part2* (1973), 87.  
H. K. Walter, *Proceed. 7th International conference on High Energy Physics and Nuclear Structure, Zürich 1977*, p. 225.  
J. P. Scheffer, *Proceed. 8th International conference on high Energy Physics and Nuclear Structure, Nucl. Phys.*, **A335**(1980), 33.
- [2] R. D. McKeown et al., *Phys. Rev. Lett.*, **44**(1980), 1033, **45**(1980), 2015.  
H. E. Jackson et al., *Phys. Rev. Lett.*, **39**(1977), 1601.
- [3] H. C. Chiang and J. Hüfner, *Nucl. Phys.*, **A352**(1980), 442.  
J. Hüfner and H. C. Chiang, *Proceed. International Workshop on Intermediate Energy Nucl. Chemistry, Los Alamos, 1981*, p. 73.
- [4] F. Hachenberg, H. C. Chiang and J. Hüfner, *Phys. Lett.*, **B97**(1980), 183.
- [5] I. Navon et al., *Phys. Rev. Lett.*, **42**(1979), 1465.  
H. E. Jackson et al., *Phys. Rev.*, **C16**(1977), 730.
- [6] C. M. Ko and S. Bohrmann, *Phys. Lett.*, **B97**(1980), 188.
- [7] K. G. Doss et al., *Phys. Rev.*, **C22**(1980), 1219.
- [8] H. C. Chiang and J. Hüfner, *Nucl. Phys.*, **A349**(1980), 466.
- [9] H. R. Collard et al., *Numerical Data and Functional Relationships in Science and Technology*, **V2**(1967), 34.
- [10] E. J. Moniz et al., *Phys. Rev. Lett.*, **26**(1971), 445.
- [11] J. Hüfner and M. Thies, *Phys. Rev.*, **C20**(1979), 20.
- [12] 姜焕清, 李扬国, *科学通报*, **26**(1981), 1290.

## TWO-NUCLEON ABSORPTION MECHANISM AND PIONS IN FIGHT

CHIANG HUAN-CHING LI YANG-GUO

*(Institute of High Energy Physics, Academia Sinica)*

### ABSTRACT

In this paper, a two-nucleon absorption model for pions at rest is extended to discuss the nucleon spectra after absorption of pions of a few hundred MeV energies. Nucleon spectra emitted after 220 MeV pion absorption by  $^{12}\text{C}$ ,  $^{58}\text{Ni}$  and  $^{181}\text{Ta}$  are calculated. The  $A$  dependences of the absorption cross section, the mean number of nucleons  $\bar{N}$  emitted after pion absorption and the ratio of the yields of protons from  $\pi^+$  v.s.  $\pi$  absorption can be well described by two-nucleon mechanism.